

## Filteroperationen Triangulierung

Andreas Kolb und Martin Lambers

computergraphik und multimedia systeme  
universität siegen

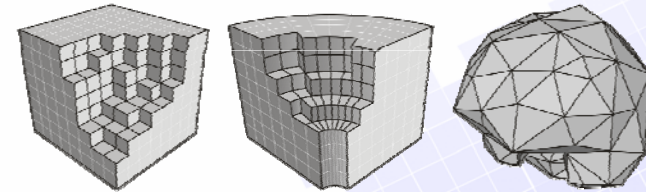


## Review: Letzte Stunde

2

### ● Gitterstrukturen in 2D und 3D

- uniforme Gitter
- rectilineare Gitter
- curvilineare Gitter
- unstrukturierte Gitter



Andreas Kolb, Martin Lambers

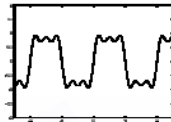
Visualisierung

## Review: Letzte Stunde

3

### ● Abtasttheorem

- Kontinuierliche Signale lassen sich in harmonische Schwingungen zerlegen (Frequenzspektrum)
- Bandbegrenzte Signale lassen sich aus diskreten Abtastwerten exakt rekonstruieren
- Exakte Rekonstruktion erfolgt mit dem Sinc-Filter
- Unterabtastung führt zu *Aliasing*-Effekten



Andreas Kolb, Martin Lambers

Visualisierung

## Review: Letzte Stunde

4

### ● Differenzieren auf Gittern

- Gradientenvektor
  - zeigt in Richtung des größten Anstiegs
  - steht senkrecht auf den Isolinien (2D) bzw Isoflächen (3D)
- Differenzieren auf Gittern
  - Curve/Surface Fitting
  - Finite Differenzen
    - Vorwärts, Rückwärts,
    - Zentrale Differenzen



Andreas Kolb, Martin Lambers

Visualisierung

### Review: Lineare Interpolation 5

**LINEAR:**

$y_i$   $y$   $y_{i+1}$   
 $x_i$   $x$   $x_{i+1}$

Lineares *Blenden*,

$$f(x) = \alpha y_{i+1} + (1 - \alpha) y_i$$

mit 
$$\alpha = \frac{x - x_i}{x_{i+1} - x_i}$$

**BILINEAR:**

**TRILINEAR:**

Andreas Kolb, Martin Lambers Visualisierung

### Glatte Interpolation 6

- (Stückweise) Lineare Interpolation ist  $C_0$ -stetig

- Wie bekomme ich eine „glatte“ Interpolation ( $C^1$ -stetig)?

- Lösung: z.B. stückweise kubische Interpolation

Andreas Kolb, Martin Lambers Visualisierung

### Catmull-Rom-Interpolation 7

$f'_{i-1}$   $f'_i$   
 $f_{i-1}$   $f_i$   
 $x_{i-1}$   $x_i$

1. Bestimme die Ableitungen  $f'_i$  durch zentrale Differenzen

2. Bestimme eine (lokale) kubische Funktion, die sowohl die Funktionswerte  $f_i$  als auch die Ableitungen  $f'_i$  interpoliert

**Hermite-Interpolation**

Andreas Kolb, Martin Lambers Visualisierung

### Hermite Interpolation 8

Gegeben:  $f_0, f_1, f'_0$  und  $f'_1$ .

Gesucht: Polynom 3. Grades  $f(t)$ , so dass gilt

$f(0) = f_0$	$f(1) = f_1$	$\frac{\partial}{\partial t} f(0) = f'_0$	$\frac{\partial}{\partial t} f(1) = f'_1$
--------------	--------------	---	---

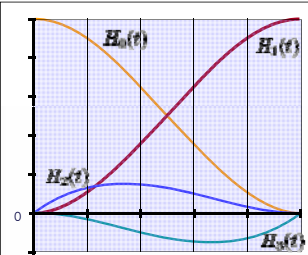
  

	$f(0)$	$f(1)$	$f'(0)$	$f'(1)$
$H_0(t) = (1-t)^2(2t+1)$	1	0	0	0
$H_1(t) = t^2(3-2t)$	0	1	0	0
$H_2(t) = -t^2(1-t)$	0	0	1	0
$H_3(t) = t(1-t)^2$	0	0	0	1

Andreas Kolb, Martin Lambers Visualisierung

## Hermite Interpolation

9



Das gesuchte Polynom zur lokalen Interpolation bei gegebenem  $f_0$ ,  $f_1$ ,  $f'_0$  und  $f'_1$  ist:

$$f(t) = f_0 H_0(t) + f_1 H_1(t) + f'_0 H_2(t) + f'_1 H_3(t)$$

Andreas Kolb, Martin Lambers Visualisierung

## Zusammenfassung Interpolation

10

- **Lokale Interpolationsverfahren**
  - linear, bilinear, trilinear in kartesischen Koordinaten
  - linear in baryzentrischen Koordinaten (Schwerpunktskoordinaten)
    - Dreieck, Tetraeder, Verallgemeinerbar auf beliebige n-Simplices
  - **Catmull-Rom Interpolation**
    - $C^1$ -stetig
- **Was ich verschwiegen habe:**
  - Allgemeine Kurven (z.B. B-Splines)
    - Computergraphik II

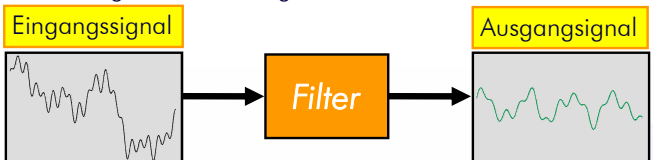
Andreas Kolb, Martin Lambers Visualisierung

## Lineare Filter

11

Aus der Signalverarbeitung:

Eingangssignal



Ausgangssignal

Ein linearer Filter schwächt bestimmte Frequenzen ab und läßt andere passieren.

**Tiefpass-Filter:** läßt nur niedrige Frequenzen passieren

**Hochpass-Filter:** läßt nur hohe Frequenzen passieren

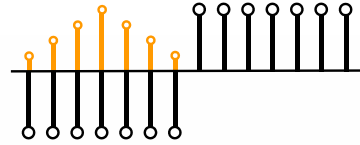
**Bandpass-Filter:** läßt nur einen bestimmten Frequenzbereich durch.

Andreas Kolb, Martin Lambers Visualisierung

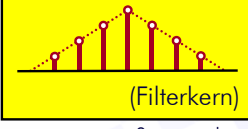
## Lineare Filter

12

Eingangssignal



Beispiel: Dreiecksfilter



(Filterkern)

Summe der einzelnen Werte ergibt 1



Ausgangssignal

Andreas Kolb, Martin Lambers Visualisierung

### Lineare Filter 13

**Eingangssignal**

**Ausgangssignal**

Beispiel: Dreiecksfilter

(Filterkern)

Summe der einzelnen Werte ergibt 1

Andreas Kolb, Martin Lambers Visualisierung

### Lineare Filter 14

**Eingangssignal**

**Ausgangssignal**

Beispiel: Dreiecksfilter

(Filterkern)

Summe der einzelnen Werte ergibt 1

Andreas Kolb, Martin Lambers Visualisierung

### Lineare Filter 15

**Eingangssignal**

**Ausgangssignal**

Beispiel: Dreiecksfilter

(Filterkern)

Summe der einzelnen Werte ergibt 1

**Ergebnis: Glättungseffekt**  
Es gibt unterschiedliche Filterkerne mit unterschiedlichen Eigenschaften

Andreas Kolb, Martin Lambers Visualisierung

### Lineare Filter 16

Eingangssignal

$A(x)$

Filterkern

$K(x)$

Ausgangssignal

$B(x)$

Faltung (Convolution)

$$B(x) = \sum_{i=-\infty}^{\infty} K(i)A(x-i) = K * A$$

Andreas Kolb, Martin Lambers Visualisierung

## Lineare Filter 17

Faltung (Convolution)

$$B(x) = \sum_{i=-\infty}^{\infty} K(i)A(x-i) = K * A$$

Rechenregeln für die Faltung:

Kommutativgesetz:  $(A * B) = (B * A)$

Assoziativgesetz:  $(A * B) * C = A * (B * C)$

Andreas Kolb, Martin Lambers Visualisierung

## Glättungsfilter 18

Zweck: Glätten von scharfen Kanten, Rauschunterdrückung

**Tiefpass-Filter**

Rechteck-Filter  
(Box-Filter)

Dreieck-Filter  
(Bartlett Filter)

Gauss-Filter

Andreas Kolb, Martin Lambers Visualisierung

## Kantenfilter 19

Zweck: Erkennen von Kanten **Hochpass-Filter**

Kantendetektion:  $|f'(x)| = \max \Rightarrow$  Kante in  $f(x)$

Zentrale Differenzen:  $f'(x_i) \approx \frac{f(x_{i+1}) - f(x_{i-1}))}{2h}$

Linearer Filter, der zentrale Differenzen berechnet:

Andreas Kolb, Martin Lambers Visualisierung

## Lineare Filter in 2D 20

Eingangssignal  $A(x, y)$

Filterkern  $K(x, y)$

Ausgangssignal  $B(x, y)$

z.B. Dreiecksfilter

2D Faltung:

$$B(x, y) = K * A = \sum_{i=i_{\min}}^{i_{\max}} \sum_{j=j_{\min}}^{j_{\max}} K(i, j)A(x-i, y-j)$$

Faltung in 3D und n-dim. Raum analog

Andreas Kolb, Martin Lambers Visualisierung

## Separierbare Filter

21

- n-dim. lineare Filter, die sich durch Hintereinanderschalten mehrerer 1D-Filter berechnen lassen ( $\rightarrow$  schnellere Auswertung:  $k \cdot n$  statt  $k^n$ ),
- d.h. lineare Filter, die sich als Tensorprodukt darstellen lassen:

$$K(x, y) = K_1(x) * K_2(y)$$

Beispiel: 2D Gauss

$$\begin{bmatrix} 1 & 2 & 1 \\ 2 & 4 & 2 \\ 1 & 2 & 1 \end{bmatrix} = \begin{bmatrix} 1 \\ 2 \\ 1 \end{bmatrix} \begin{bmatrix} 1 & 2 & 1 \end{bmatrix}$$

Beispiel: Sobel

$$\begin{bmatrix} -1 & 0 & 1 \\ -2 & 0 & 2 \\ -1 & 0 & 1 \end{bmatrix} = \begin{bmatrix} 1 \\ 2 \\ 1 \end{bmatrix} \begin{bmatrix} -1 & 0 & 1 \end{bmatrix}$$

Andreas Kolb, Martin Lambers

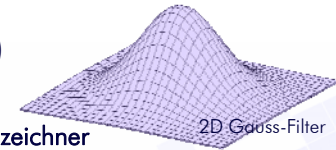
Visualisierung

## 2D Glättungsfilter

22

Tensorprodukt der 1D Varianten:

- Boxfilter
- Dreiecksfilter (Pyramide)
- Gauss-Filter



Beispiel Bildbearbeitung: Weichzeichner



Original

Gauss Filter, 5x5

Gauss-Filter 9x9

Andreas Kolb, Martin Lambers

Visualisierung

## Zusammenfassung

23

### Lineare Filter:

- Filterkern wird mit Signal **gefaltet**
- Linearer Filter entfernen bestimmte Frequenzen aus dem Signal
- Glättungsfilter:
  - Box-, Dreieck-, Gauss-Filter
  - Tiefpassfilter: hohe Frequenzen werden entfernt
- Kantenfilter:
  - Hochpass-Filter: niedrige Frequenzen werden abgeschwächt

Andreas Kolb, Martin Lambers

Visualisierung

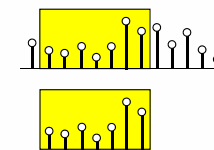
## Nicht-Lineare Filter

24

**Lineare Filter** berechnen den Wert des Ausgangssignals als **Linearkombination** der Werte des Eingangssignals

- **Nicht-lineare Filter** verwenden hier beliebige nicht-lineare Funktionen  $f(x_{i-k}, \dots, x_i, \dots, x_{i+k})$

**Beispiel: Der Median-Filter** (Rangordnungsoperation)



1. Wähle alle Samples innerhalb des Filterkerns

Andreas Kolb, Martin Lambers

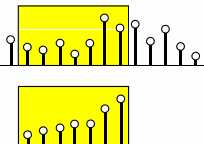
Visualisierung

## Nicht-Lineare Filter 25

**Lineare Filter** berechnen den Wert des Ausgangssignals als **Linearkombination** der Werte des Eingangssignals

● **Nicht-lineare Filter** verwenden hier beliebige nicht-lineare Funktionen  $f(x_{i-k}, \dots, x_i, \dots, x_{i+k})$

**Beispiel: Der Median-Filter** (Rangordnungsoperation)



1. Wähle alle Samples innerhalb des Filterkerns
2. **Sortiere** alle Samples nach ihrem Wert

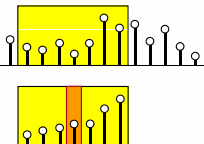
Andreas Kolb, Martin Lambers Visualisierung

## Nicht-Lineare Filter 26

**Lineare Filter** berechnen den Wert des Ausgangssignals als **Linearkombination** der Werte des Eingangssignals

● **Nicht-lineare Filter** verwenden hier beliebige nicht-lineare Funktionen  $f(x_{i-k}, \dots, x_i, \dots, x_{i+k})$

**Beispiel: Der Median-Filter** (Rangordnungsoperation)



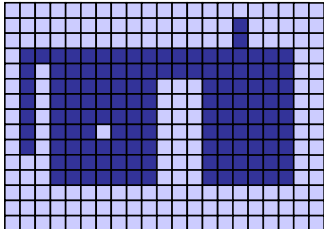
1. Wähle alle Samples innerhalb des Filterkerns
2. **Sortiere** alle Samples nach ihrem Wert
3. Wähle das **mittlere** Sample als Ausgangswert

Andreas Kolb, Martin Lambers Visualisierung

## Nichtlineare Filter 27

● **Morphologische Operatoren** für binäre Daten (0,1)-Werte

3x3-Filterkern  $K$



**Dilatation:**  
Pixelwert = 1, wenn in der Filternachbarschaft ein Pixelwert 1 vorkommt

□ = 0 (Hintergrund)

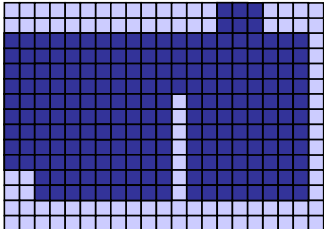
■ = 1 (Objekt)

Andreas Kolb, Martin Lambers Visualisierung

## Nichtlineare Filter 28

● **Morphologische Operatoren** für binäre Daten (0,1)-Werte

3x3-Filterkern  $K$



**Dilatation:**  
Pixelwert = 1, wenn in der Filternachbarschaft ein Pixelwert 1 vorkommt

**Dilatation** erweitert den Rand des „Objekts“

$A \oplus K$

□ = 0 (Hintergrund)

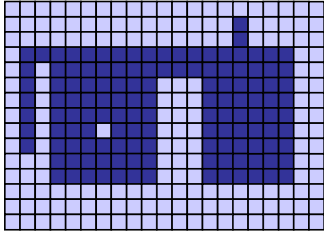
■ = 1 (Objekt)

Andreas Kolb, Martin Lambers Visualisierung

**Nichtlineare Filter** 29

**Morphologische Operatoren**  
für binäre Daten (0,1)-Werte

 3x3-Filterkern  $K$



**Erosion:**  
Pixelwert = 0, wenn in der Filternachbarschaft ein Pixelwert 0 vorkommt

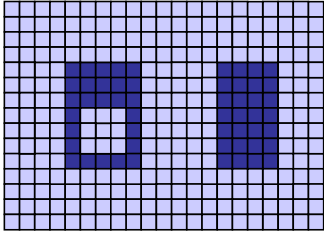
= 0 (Hintergrund)  
 = 1 (Objekt)

Andreas Kolb, Martin Lambers Visualisierung

**Nichtlineare Filter** 30

**Morphologische Operatoren**  
für binäre Daten (0,1)-Werte

 3x3-Filterkern  $K$



**Erosion:**  
Pixelwert = 0, wenn in der Filternachbarschaft ein Pixelwert 0 vorkommt

**Erosion** verringert den Rand des „Objekts“

$A \ominus K$

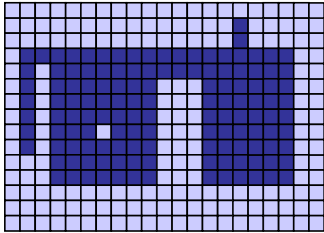
= 0 (Hintergrund)  
 = 1 (Objekt)

Andreas Kolb, Martin Lambers Visualisierung

**Nichtlineare Filter** 31

**Morphologische Operatoren**  
für binäre Daten (0,1)-Werte

 3x3-Filterkern  $K$



**Opening (Öffnung):**  
Hintereinanderschaltung von *Erosion* und *Dilatation*

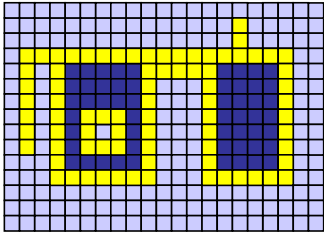
= 0 (Hintergrund)  
 = 1 (Objekt)

Andreas Kolb, Martin Lambers Visualisierung

**Nichtlineare Filter** 32

**Morphologische Operatoren**  
für binäre Daten (0,1)-Werte

 3x3-Filterkern  $K$



**Opening (Öffnung):**  
Hintereinanderschaltung von *Erosion* und *Dilatation*

= 0 (Hintergrund)  
 = 1 (Objekt)

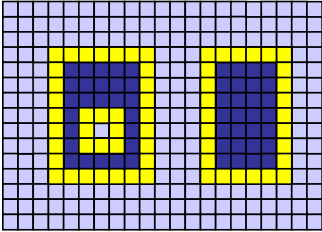
Andreas Kolb, Martin Lambers Visualisierung

## Nichtlineare Filter

33

**Morphologische Operatoren**  
für binäre Daten (0,1)-Werte

 3x3-Filterkern  $K$



**Opening (Öffnung):**  
Hintereinanderschaltung  
von  
*Erosion* und *Dilatation*

■ = 0 (Hintergrund)

■ = 1 (Objekt)

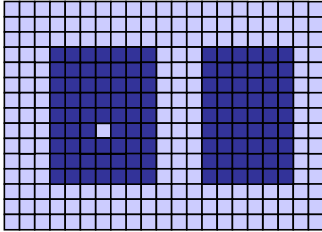
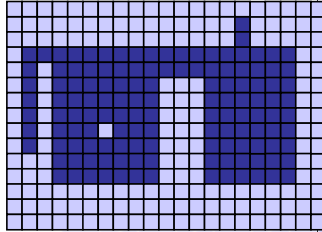
Andreas Kolb, Martin Lambers Visualisierung

## Nichtlineare Filter

34

**Morphologische Operatoren**  
für binäre Daten (0,1)-Werte

 3x3-Filterkern  $K$

Vergleich mit Original

■ = 0 (Hintergrund)

■ = 1 (Objekt)

$$A \circ K = (A \ominus K) \oplus K$$

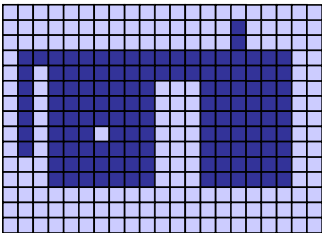
Andreas Kolb, Martin Lambers Visualisierung

## Nichtlineare Filter

35

**Morphologische Operatoren**  
für binäre Daten (0,1)-Werte

 3x3-Filterkern  $K$



**Closing (Schließung):**  
Hintereinanderschaltung  
von  
*Dilatation* und *Erosion*

■ = 0 (Hintergrund)

■ = 1 (Objekt)

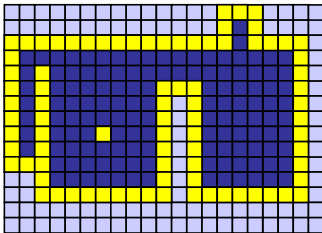
Andreas Kolb, Martin Lambers Visualisierung

## Nichtlineare Filter

36

**Morphologische Operatoren**  
für binäre Daten (0,1)-Werte

 3x3-Filterkern  $K$



**Closing (Schließung):**  
Hintereinanderschaltung  
von  
*Dilatation* und *Erosion*

■ = 0 (Hintergrund)

■ = 1 (Objekt)

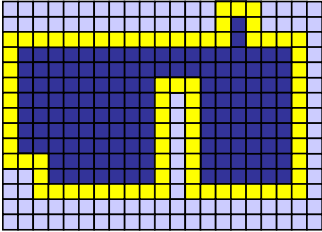
Andreas Kolb, Martin Lambers Visualisierung

## Nichtlineare Filter

37

**Morphologische Operatoren**  
für binäre Daten (0,1)-Werte

 3x3-Filterkern  $K$



**Closing (Schließung):**  
Hintereinanderschaltung  
von  
*Dilatation* und *Erosion*

■ = 0 (Hintergrund)

■ = 1 (Objekt)

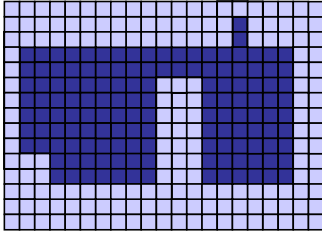
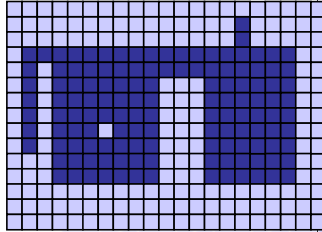
Andreas Kolb, Martin Lambers Visualisierung

## Nichtlineare Filter

38

**Morphologische Operatoren**  
für binäre Daten (0,1)-Werte

 3x3-Filterkern  $K$

Vergleich mit Original

■ = 0 (Hintergrund)

■ = 1 (Objekt)

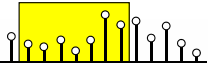
$A \circ K = (A \oplus K) \ominus K$

Andreas Kolb, Martin Lambers Visualisierung

## Nichtlineare Filter

39

**Rangordnungsoperationen**



1. Wähle alle Samples innerhalb des Filterkerns
2. **Sortiere** alle Samples nach ihrem Wert



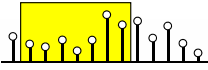
**Median-Filter:** Wähle mittleres Element.

Andreas Kolb, Martin Lambers Visualisierung

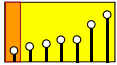
## Nichtlineare Filter

40

**Rangordnungsoperationen**



1. Wähle alle Samples innerhalb des Filterkerns
2. **Sortiere** alle Samples nach ihrem Wert



**Median-Filter:** Wähle mittleres Element.

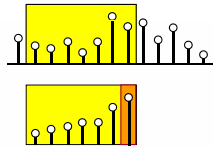
**Grauwert-Erosion:** Wähle erstes Element.

Andreas Kolb, Martin Lambers Visualisierung

## Nichtlineare Filter

41

### ● Rangordnungsoperationen



1. Wähle alle Samples innerhalb des Filterkerns
2. **Sortiere** alle Samples nach ihrem Wert

**Median-Filter:** Wähle mittleres Element.

**Grauwert-Erosion:** Wähle erstes Element.

**Grauwert-Dilatation:** Wähle letztes Element.

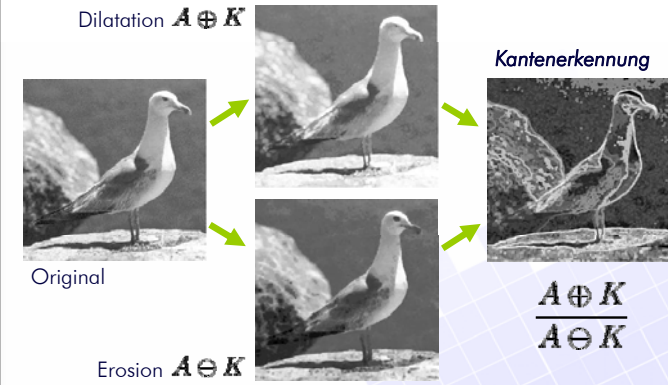
Andreas Kolb, Martin Lambers

Visualisierung

## Nichtlineare Filter

42

### ● Morphologische Operationen für Grauwerte



Andreas Kolb, Martin Lambers

Visualisierung

## Zusammenfassung

43

### Nicht-Lineare Filter:

- Keine **Faltung**, sondern beliebige nichtlineare Verknüpfung
- Rangordnungsoperationen:
  - Median-Filter: Rauschunterdrückung ohne Kantenglättung
  - Morphologische Operationen: Dilatation, Erosion, Opening, Closing

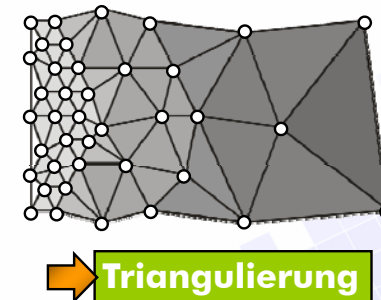
Andreas Kolb, Martin Lambers

Visualisierung

## Unstrukturierte Gitter

44

- Gegeben eine **Punktwolke**, d.h. eine ungeordnete Menge an Vertices
- Wie sieht eine geeignete Gitterstruktur dazu aus ?



Andreas Kolb, Martin Lambers

Visualisierung

## Triangulierung 45

**Definition:**  
 Eine **Triangulierung** einer Punktmenge  $\mathbf{P} = \{P_i \mid i = 0, \dots, N-1\} \subseteq \mathbb{R}^2/\mathbb{R}^3$  besteht aus

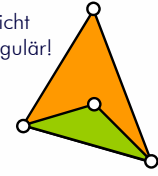
- ✗ den Punkten  $\mathbf{P}$
- ✗ den Kanten  $\mathbf{E} \subseteq \{\overline{P_i P_j} \mid 0 \leq i, j < N, i \neq j\}$
- ✗ und den Flächen (Dreiecken)  $\mathbf{F} \subseteq \{\Delta(P_i P_j P_k) \mid 0 \leq i, j, k < N, i \neq j\}$

Andreas Kolb, Martin Lambers Visualisierung

## Triangulierung 46

Eine Triangulierung ist **regulär**, wenn gilt

- jeder Vertex ist Endpunkt mind. zweier Kanten
- jede Kante ist Teil von einem oder zwei Dreiecken
- Zwei Dreiecke schneiden sich } nicht in einem Punkt ODER in einer Kante



Nicht regulär!



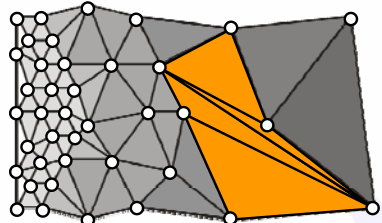
Nicht regulär!

T-Vertex

Andreas Kolb, Martin Lambers Visualisierung

## Triangulierungen 47

● Sind alle regulären Triangulierungen auch „gute“ Triangulierungen?



**Triangulierung** ist regulär

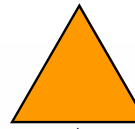
„schlechte“ **Triangulierung:** Dreiecke sind zu lang und spitz

*Lange, spitze Dreiecke sollten vermieden werden, da sie bei Interpolation zu unschönen Ergebnissen führen!*

Andreas Kolb, Martin Lambers Visualisierung

## Triangulierungen 48

● Was sind „gute“ Dreiecke?



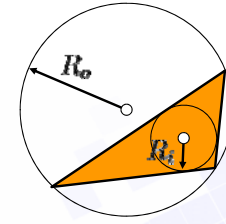
optimal



gut



schlecht



**Faustregeln:**

- ✗ Optimal sind gleichseitige Dreiecke
- ✗ Der kleinste Winkel im Dreieck sollte maximal sein.
- Das Verhältnis zwischen Inkreis und Umkreis sollte maximal sein:  $\frac{R_i}{R_o} = \max$

Andreas Kolb, Martin Lambers Visualisierung

## Systematische Lösung in 2D 49

Wie finde ich eine *optimale Triangulierung*?

- **Delaunay-Triangulierung**
  - *Definition* über Voronoi-Diagramm
  - *Eigenschaften* der Delaunay-Triangulierung
  - *Algorithmen* zur Bestimmung der Delaunay-Triangulierung
- **Voronoi-Diagramm**
  - Hilfreich bei der exakten Definition

Andreas Kolb, Martin Lambers Visualisierung

## Voronoi-Tessellierung 50

Definition der Delaunay-Triangulierung

Kante  $\overline{P_i P_j} \Leftrightarrow$  Voronoi-Zellen von  $P_i$  und  $P_j$  haben eine gemeinsame Kante

Dreieck  $\Delta(P_i P_j P_k) \Leftrightarrow$  Voronoi-Zellen von  $P_i, P_j$  und  $P_k$  haben einen gemeinsamen Eckpunkt

Andreas Kolb, Martin Lambers Visualisierung

## Voronoi-Tessellierung 51

Definition der Delaunay-Triangulierung

- **Ausnahmefall:**  
4 Punkte liegen auf einem Kreis (und innerhalb des Kreises liegt kein weiterer Punkt)
- In diesem Fall ergibt die Delaunay-Triangulierung kein Dreieck, sondern ein Viereck.
- Dieses Viereck kann durch Hinzunahme einer beliebigen Diagonale trianguliert werden

Andreas Kolb, Martin Lambers Visualisierung

## Delaunay-Triangulierung 52

- Eigenschaften der Delaunay-Triangulierung

**Umkreis-Kriterium (CC):**  
Der Umkreis eines beliebigen Dreiecks enthält keinen weiteren Vertex

*Notwendige und Hinreichende Bedingung!*

Andreas Kolb, Martin Lambers Visualisierung

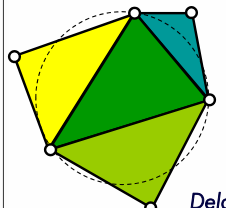
## Delaunay-Triangulierung 53

● Eigenschaften der Delaunay-Triangulierung

**Lokales Umkreis-Kriterium (LCC):**  
Für alle inneren Kanten: Der Umkreis eines Dreiecks enthält nicht den dritten Vertex des benachbarten Dreiecks

*Notwendige und hinreichende Bedingung!*

*Leichter zu zeigen als globales Umkreis Kriterium, da nur die benachbarten Dreiecke untersucht werden müssen!*



Delaunay

Andreas Kolb, Martin Lambers Visualisierung

## Algorithmen 54

Algorithmen zur Bestimmung der Delaunay Triangulierung einer gegebenen Punktmenge

✗ Flipping Algorithmus

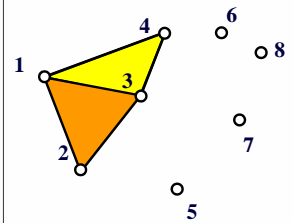
- ✗ Inkrementeller Algorithmus
- ✗ Divide & Conquer-Algorithmus

Andreas Kolb, Martin Lambers Visualisierung

## Delaunay-Triangulierung 55

### Flipping Algorithmus

1. Bestimme eine beliebige (reguläre) Triangulierung



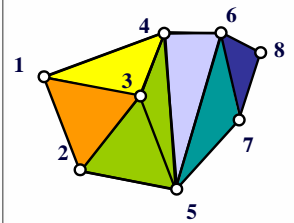
- Ordne alle Vertices lexikographisch (z.B. sortiere zuerst nach x- dann nach y-Koord.)
- Beginne mit den ersten 3 Vertices
- ✗ Füge schrittweise jeweils einen neuen Vertex hinzu. Verbinde den neuen Vertex mit allen sichtbaren Kanten

Andreas Kolb, Martin Lambers Visualisierung

## Delaunay-Triangulierung 56

### Flipping Algorithmus

1. Bestimme eine beliebige (reguläre) Triangulierung



- Ordne alle Vertices lexikographisch (z.B. sortiere zuerst nach x- dann nach y-Koord.)
- Beginne mit den ersten 3 Vertices
- ✗ Füge schrittweise jeweils einen neuen Vertex hinzu. Verbinde den neuen Vertex mit allen sichtbaren Kanten

Andreas Kolb, Martin Lambers Visualisierung

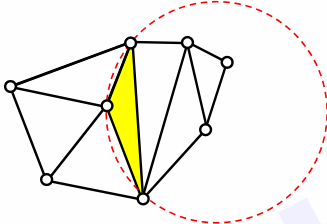
## Delaunay-Triangulierung

57

### Flipping Algorithmus

2. „Flippe“ alle Kanten, die das lokale Umkreis-kriterium (LCC) verletzen

- ✗ Bestimme eine Liste aller Kanten, die LCC verletzen



Andreas Kolb, Martin Lambers Visualisierung

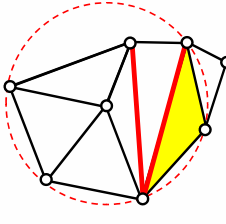
## Delaunay-Triangulierung

58

### Flipping Algorithmus

2. „Flippe“ alle Kanten, die das lokale Umkreis-kriterium (LCC) verletzen

- ✗ Bestimme eine Liste aller Kanten, die LCC verletzen



Andreas Kolb, Martin Lambers Visualisierung

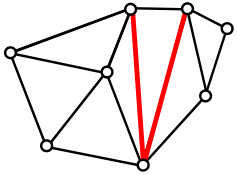
## Delaunay-Triangulierung

59

### Flipping Algorithmus

2. „Flippe“ alle Kanten, die das lokale Umkreis-kriterium (LCC) verletzen

- ✗ Bestimme eine Liste aller Kanten, die LCC verletzen
- ✗ Entnehme die erste Kante der Liste und „flippe“ sie.



Andreas Kolb, Martin Lambers Visualisierung

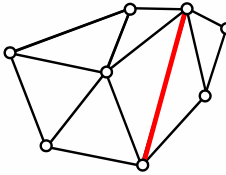
## Delaunay-Triangulierung

60

### Flipping Algorithmus

2. „Flippe“ alle Kanten, die das lokale Umkreis-kriterium (LCC) verletzen

- ✗ Bestimme eine Liste aller Kanten, die LCC verletzen
- ✗ Entnehme die erste Kante der Liste und „flippe“ sie.



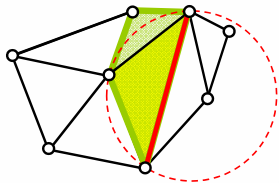
Andreas Kolb, Martin Lambers Visualisierung

## Delaunay-Triangulierung

61

### Flipping Algorithmus

2. „Flippe“ alle Kanten, die das lokale Umkreis-kriterium (LCC) verletzen



- ✗ Bestimme eine Liste aller Kanten, die LCC verletzen
- ✗ Entnehme die erste Kante der Liste und „flippe“ sie.
- ✗ Überprüfe alle 4 Kanten des betroffenen Vierecks und aktualisiere die Liste

Andreas Kolb, Martin Lambers

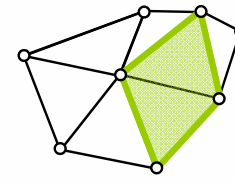
Visualisierung

## Delaunay-Triangulierung

62

### Flipping Algorithmus

2. „Flippe“ alle Kanten, die das lokale Umkreis-kriterium (LCC) verletzen



- ✗ Bestimme eine Liste aller Kanten, die LCC verletzen
- ✗ Entnehme die erste Kante der Liste und „flippe“ sie.
- ✗ Überprüfe alle 4 Kanten des betroffenen Vierecks und aktualisiere die Liste
- Weiter mit nächster Kante

Andreas Kolb, Martin Lambers

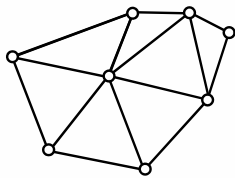
Visualisierung

## Delaunay-Triangulierung

63

### Flipping Algorithmus

2. „Flippe“ alle Kanten, die das lokale Umkreis-kriterium (LCC) verletzen



- ✗ Bestimme eine Liste aller Kanten, die LCC verletzen
- ✗ Entnehme die erste Kante der Liste und „flippe“ sie.
- ✗ Überprüfe alle 4 Kanten des betroffenen Vierecks und aktualisiere die Liste
- Weiter mit nächster Kante

Andreas Kolb, Martin Lambers

Visualisierung

## Algorithmen

64

Algorithmen zur Bestimmung der Delaunay Triangulierung einer gegebenen Punktmenge

- Flipping Algorithmus
- Inkrementeller Algorithmus
- Divide & Conquer-Algorithmus

**Vorteile:** sehr einfach  
**Nachteil:** benötigt initiale Triangulierung

Andreas Kolb, Martin Lambers

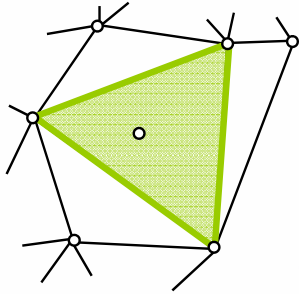
Visualisierung

## Delaunay-Triangulierung

65

### Inkrementeller Algorithmus

1. Beginne mit einem Dreieck (3 beliebige Vertices)
2. Füge nacheinander weitere Vertices hinzu



- Finde ein Dreieck, das den hinzugefügten Vertex enthält.
- ✗ Prüfe Umkreis der benachbarten Dreiecke. Markiere die Dreiecke die LCC verletzen

Andreas Kolb, Martin Lambers

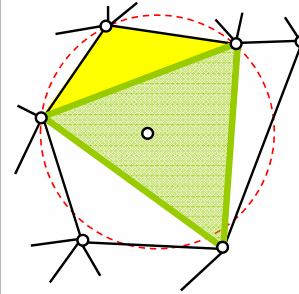
Visualisierung

## Delaunay-Triangulierung

66

### Inkrementeller Algorithmus

1. Beginne mit einem Dreieck (3 beliebige Vertices)
2. Füge nacheinander weitere Vertices hinzu



- Finde ein Dreieck, das den hinzugefügten Vertex enthält.
- ✗ Prüfe Umkreis der benachbarten Dreiecke. Markiere die Dreiecke die LCC verletzen

Andreas Kolb, Martin Lambers

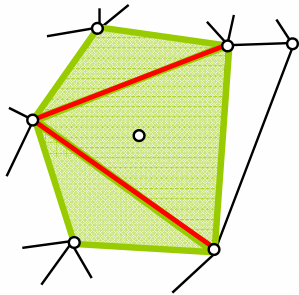
Visualisierung

## Delaunay-Triangulierung

67

### Inkrementeller Algorithmus

1. Beginne mit einem Dreieck (3 beliebige Vertices)
2. Füge nacheinander weitere Vertices hinzu



- Finde ein Dreieck, das den hinzugefügten Vertex enthält.
- ✗ Prüfe Umkreis der benachbarten Dreiecke. Markiere die Dreiecke die LCC verletzen
- Entferne alle inneren Kanten der markierten Region

Andreas Kolb, Martin Lambers

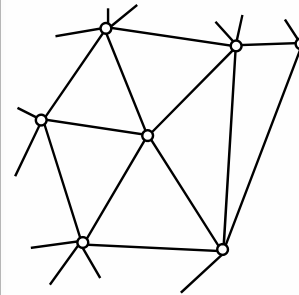
Visualisierung

## Delaunay-Triangulierung

68

### Inkrementeller Algorithmus

1. Beginne mit einem Dreieck (3 beliebige Vertices)
2. Füge nacheinander weitere Vertices hinzu



- Finde ein Dreieck, das den hinzugefügten Vertex enthält.
- ✗ Prüfe Umkreis der benachbarten Dreiecke. Markiere die Dreiecke die LCC verletzen
- Entferne alle inneren Kanten der markierten Region
- Verbinde neuen Vertex mit allen Randkanten der Region

Andreas Kolb, Martin Lambers

Visualisierung

## Delaunay-Triangulierung

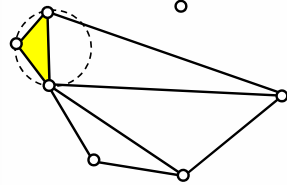
69

### Inkrementeller Algorithmus

1. Beginne mit einem Dreieck (3 beliebige Vertices)
2. Füge nacheinander weitere Vertices hinzu

#### Sonderfall: Externer Vertex

- Prüfe Umkreis aller Dreiecke. Markiere die Dreiecke die LCC verletzen



Andreas Kolb, Martin Lambers

Visualisierung

## Delaunay-Triangulierung

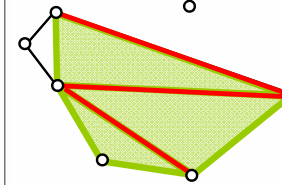
70

### Inkrementeller Algorithmus

1. Beginne mit einem Dreieck (3 beliebige Vertices)
2. Füge nacheinander weitere Vertices hinzu

#### Sonderfall: Externer Vertex

- Prüfe Umkreis aller Dreiecke. Markiere die Dreiecke die LCC verletzen
- Entferne alle Kanten der markierten Region, die LCC verletzen



Andreas Kolb, Martin Lambers

Visualisierung

## Delaunay-Triangulierung

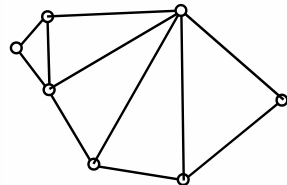
71

### Inkrementeller Algorithmus

1. Beginne mit einem Dreieck (3 beliebige Vertices)
2. Füge nacheinander weitere Vertices hinzu

#### Sonderfall: Externer Vertex

- Prüfe Umkreis aller Dreiecke. Markiere die Dreiecke die LCC verletzen
- Entferne alle Kanten der markierten Region, die LCC verletzen
- Verbinde neuen Vertex mit allen Randkanten der Region



Andreas Kolb, Martin Lambers

Visualisierung

## Algorithmen

72

Algorithmen zur Bestimmung der Delaunay Triangulierung einer gegebenen Punktmenge

- Flipping Algorithmus
- Inkrementeller Algorithmus
- Divide & Conquer-Algorithmus

**Vorteile:** keine initiale Triangulierung  
**Nachteil:** etwas komplizierter als Flipping

Andreas Kolb, Martin Lambers

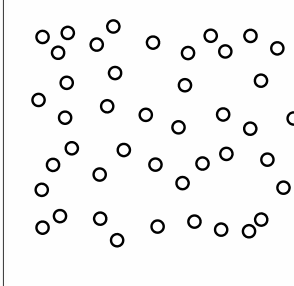
Visualisierung

73

## Delaunay-Triangulierung

**Divide and Conquer-Algorithmus**

**Schritt 1 (Teilen):** Teile die Menge der Dreiecke solange, bis die Triangulierung trivial wird.



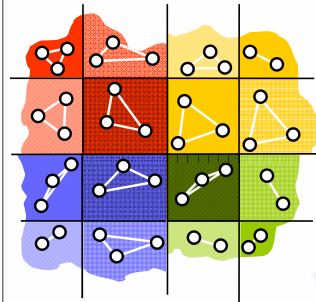
Andreas Kolb, Martin Lambers Visualisierung

74

## Delaunay-Triangulierung

**Divide and Conquer-Algorithmus**

**Schritt 1 (Teilen):** Teile die Menge der Dreiecke solange, bis die Triangulierung trivial wird.



- ✗ Zerlege die Menge in Teilmengen
- Fahre solange fort bis jede Teilmenge 2 oder 3 Vertices enthält. (Achte darauf, dass die Teilmengen annähernd quadratische Form haben)
- Bestimme (triviale) Triangulierung der Teilmengen

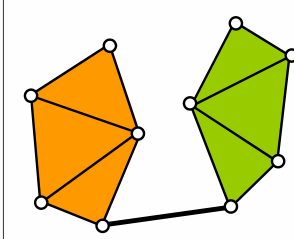
Andreas Kolb, Martin Lambers Visualisierung

75

## Delaunay-Triangulierung

**Divide and Conquer-Algorithmus**

**Schritt 2 (Vereinigen):** Vereinige die einzelnen Teilmengen schrittweise.



- ✗ Beginne mit der „untersten“ Kante

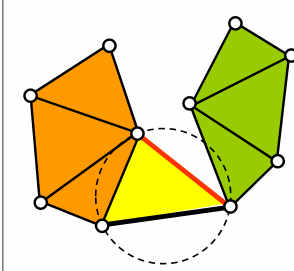
Andreas Kolb, Martin Lambers Visualisierung

76

## Delaunay-Triangulierung

**Divide and Conquer-Algorithmus**

**Schritt 2 (Vereinigen):** Vereinige die einzelnen Teilmengen schrittweise.



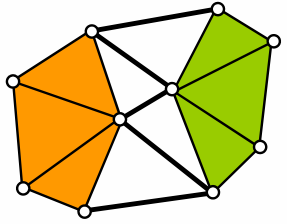
- ✗ Beginne mit der „untersten“ Kante
- ✗ Bilde mit einer der nächsten „untersten“ Kanten ein Dreieck, das LCC nicht verletzt. (Dies ist nicht immer möglich! → Sonderfall)

Andreas Kolb, Martin Lambers Visualisierung

77

## Delaunay-Triangulierung

**Divide and Conquer-Algorithmus**  
*Schritt 2 (Vereinigen):* Vereinige die einzelnen Teilmengen schrittweise.



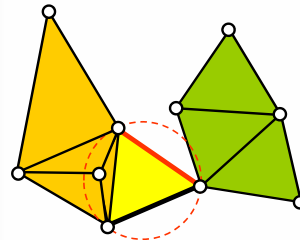
- ✗ Beginne mit der „untersten“ Kante
- ✗ Bilde mit einer der nächsten „untersten“ Kanten ein Dreieck, das LCC nicht verletzt. *(Dies ist nicht immer möglich! → Sonderfall)*
- ✗ Fahre so fort

Andreas Kolb, Martin Lambers Visualisierung

78

## Delaunay-Triangulierung

**Divide and Conquer-Algorithmus**  
*Schritt 2 (Vereinigen):* Vereinige die einzelnen Teilmengen schrittweise.



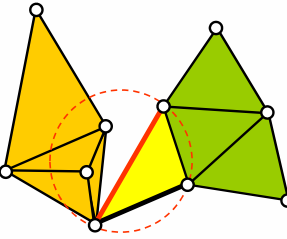
**Sonderfall:** Einfügen einer Kante nicht möglich

Andreas Kolb, Martin Lambers Visualisierung

79

## Delaunay-Triangulierung

**Divide and Conquer-Algorithmus**  
*Schritt 2 (Vereinigen):* Vereinige die einzelnen Teilmengen schrittweise.



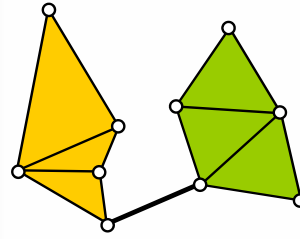
**Sonderfall:** Einfügen einer Kante nicht möglich

Andreas Kolb, Martin Lambers Visualisierung

80

## Delaunay-Triangulierung

**Divide and Conquer-Algorithmus**  
*Schritt 2 (Vereinigen):* Vereinige die einzelnen Teilmengen schrittweise.



**Sonderfall:** Einfügen einer Kante nicht möglich

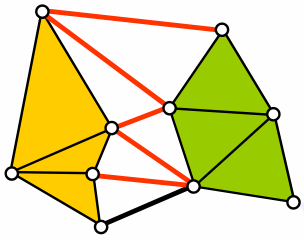
- **Grund:** Es existiert bereits eine Kante, die LCC verletzt!
- Bestimme die Kante, die LCC verletzt.
- ✗ Entferne diese Kante und fahre fort

Andreas Kolb, Martin Lambers Visualisierung

## Delaunay-Triangulierung 81

### Divide and Conquer-Algorithmus

**Schritt 2 (Vereinigen):** Vereinige die einzelnen Teilmengen schrittweise.



Sonderfall: Einfügen einer Kante nicht möglich

- **Grund:** Es existiert bereits eine Kante, die LCC verletzt!
- Bestimme die Kante, die LCC verletzt.
- ✗ Entferne diese Kante und fahre fort

Andreas Kolb, Martin Lambers Visualisierung

## Zusammenfassung Algorithmen 82

<ul style="list-style-type: none"> <li>● <b>Flipping Algorithmus</b></li> <li>● Komplexität <math>O(n^2)</math></li> <li>● sehr einfacher erfordert initiale Triangulierung</li> </ul>	Verwenden bei kleinen Netzen (optimal für $n < 1000$ )
<ul style="list-style-type: none"> <li>● <b>Inkrementeller Algorithmus</b></li> <li>● Komplexität <math>O(n^2)</math></li> </ul>	
<ul style="list-style-type: none"> <li>● <b>Divide &amp; Conquer-Algorithmus</b></li> <li>● Komplexität <math>O(n \log n)</math></li> <li>● relativ kompliziert</li> </ul>	Verwenden bei großen Netzen (optimal für $n > 100000$ )
<div style="display: flex; align-items: center;"> <div style="writing-mode: vertical-rl; transform: rotate(180deg); font-size: x-small; margin-right: 5px;">Nicht besprochen</div> <ul style="list-style-type: none"> <li>● <b>(Plane-Sweep Algorithmus)</b></li> <li>● Komplexität <math>O(n \log n)</math></li> <li>● sehr kompliziert</li> </ul> </div>	

Andreas Kolb, Martin Lambers Visualisierung

## Zusammenfassung 83

### Lineare Filter:

- **Filterkern** wird mit Signal *gefaltet*
- Lineare Filter entfernen bestimmte *Frequenzen* aus dem Signal
- Glättungsfilter:
  - Box-, Dreieck-, Gauss-Filter
  - **Tiefpassfilter:** hohe Frequenzen werden entfernt
  - **Kantenfilter:**
  - **Hochpass-Filter:** niedrige Frequenzen werden abgeschwächt

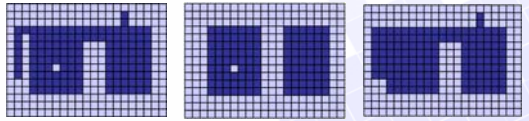


Andreas Kolb, Martin Lambers Visualisierung

## Zusammenfassung 84

### Nicht-Lineare Filter:

- Keine *Faltung*, sondern beliebige nichtlineare Verknüpfung
- Rangordnungsoperationen:
  - Median-Filter: Rauschunterdrückung ohne Kantenglättung
  - Morphologische Operationen: Dilatation, Erosion, Opening, Closing



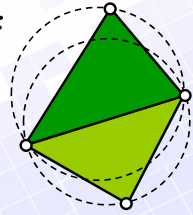
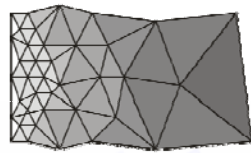
Andreas Kolb, Martin Lambers Visualisierung

## Zusammenfassung

85

### Triangulierungen:

- *Reguläre Triangulierungen*
- *Delaunay-Triangulierung*
  - Definition über Voronoi-Diagramm
  - globales und lokales Umkreis-Kriterium
- *Algorithmen zur Triangulierung:*
  - Flipping-Algorithmus
  - Inkrementeller Algorithmus
  - Divide & Conquer Algorithmus



Andreas Kolb, Martin Lambers

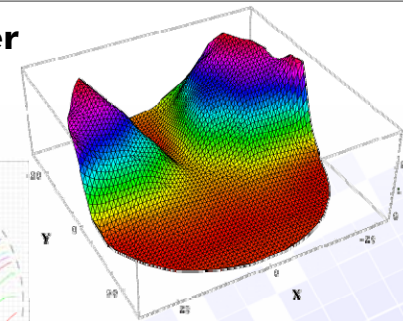
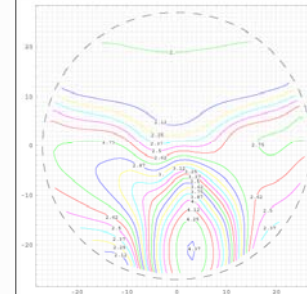
Visualisierung

## Nächste Stunde

86

### 2D Skalarfelder

- Isolinien
- Surface Plots



Daten: Roman Sturm,  
Universität Erlangen-Nürnberg

Andreas Kolb, Martin Lambers

Visualisierung